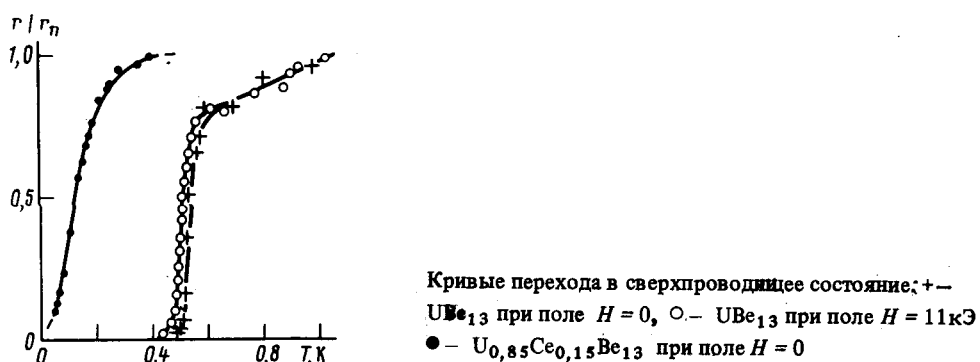


## ИССЛЕДОВАНИЕ НЕКОТОРЫХ СОЕДИНЕНИЙ БЕРИЛЛИЯ И СВЕРХПРОВОДНИКИ С ТЯЖЕЛЫМИ ФЕРМИОНАМИ

Н.Е. Алексеевский

Исследован ряд соединений бериллия. У нескольких обнаружена сверхпроводимость. Образцы  $UBe_{13}$  имели  $T_c \approx 0,6\text{ К}$ , а  $\partial H_{c2} / \partial T \approx 270 \text{ кЭ/К}$  в согласии с (5). Растворение в  $UBe_{13}$  изоструктурных  $ZrBe_{13}$  и  $CeBe_{13}$  резко снижало  $T_c$  и  $\partial H_{c2} / \partial T$ .

Исследованию сверхпроводимости бериллия и ряда соединений на его основе, как известно, посвящено много работ<sup>1–4</sup>. В последнее время интерес к соединениям бериллия вновь возрос всвязи с особенностями свойства бериллида урана  $UBe_{13}$ <sup>5</sup>. Это соединение по данным<sup>5</sup> имеет  $T_c = 0,85\text{ К}$ ;  $\partial H_{c2} / \partial T = 257 \text{ кЭ/К}$ ;  $\gamma = 1,1 \text{ Дж/моль}\cdot\text{К}^2$  и  $m^* = 192 m_0$ .



Кривые перехода в сверхпроводящее состояние; + –  $UBe_{13}$  при поле  $H = 0$ , O –  $UBe_{13}$  при поле  $H = 11\text{ кЭ}$   
● –  $U_{0,85}Ce_{0,15}Be_{13}$  при поле  $H = 0$

Проведенные нами исследования соединений бериллия<sup>1, 4</sup> показали, что, например,  $WBe_{13}$  переходит в сверхпроводящее состояние при  $4,1\text{ К}$ . Представляло интерес провести дополнительное изучение соединений бериллия. Были исследованы  $CeBe_{13}$ ,  $ZrBe_{13}$ ,  $HfBe_{13}$ , а также  $UBe_{13}$  в области температур до  $0,02\text{ К}$ . При этом у нескольких соединений была обнаружена сверхпроводимость. Для сверхпроводящих соединений были изучены зависимости критического магнитного поля от температуры, а для некоторых систем – зависимость сопротивления от магнитного поля и от температуры. Образцы приготавливались плавкой компонент в высокочастотной печи в тиглях из окиси бериллия, в некоторых случаях плавка проводилась в небольшой дуговой печи с вольфрамовым электродом и водоохлаждаемым медным подом. Для измерений в области сверхнизких температур использовался прибор, описанный в<sup>6</sup>, в котором для адиабатического размагничивания использовался эрбий-иттрий-алюминиевый гранат. Для измерения критических магнитных полей  $H_{c2}$  образец и термометр укреплялись на одном конце медного холодопровода, другой конец которого был приклешен к цилиндрическому стержню из граната. Магнитное поле  $\approx 16 \text{ кЭ}$  создавалось электромагнитом. Когда образец помещался в магнитное поле, гранат опускался в магнитный экран, укрепленный в средней части ярма магнита. Этот прибор подобен прибору, использовавшемуся нами ранее, в котором в качестве рабочего тела применялись хромокалиевые квасцы<sup>7</sup>. Давление создавалось в наковальнях Бриджмена, изготовленных также из эрбий-иттрий-алюминиевого граната, размагничивание которого позволяло понижать температуру сжатого образца до  $0,1\text{ К}$ . В таблице приведены некоторые результаты измерений. Из приведенных данных видно, что у большинства бериллиевых соединений и сплавов критические магнитные поля малы и лишь у  $UBe_{13}$  они имеют аномально большое значение, согласующееся с результатами работы<sup>5</sup>. Если из полученных значений  $\partial H_{c2} / \partial T$  и  $\rho_{\downarrow}$  оценить электронную теплоемкость, то оказывается, что коэффициент Зоммерфельда  $\gamma$  составляет несколько  $\text{мДж/моль}\cdot\text{К}^2$ . Как уже отмечалось, в отличие от большинства

сверхпроводников на основе бериллия,  $\text{UBe}_{13}$  имеет аномально высокое значение  $\gamma$ , которое составляет  $1,1 \text{ Дж/моль} \cdot \text{К}^2$ .  $T_c$  образцов  $\text{UBe}_{13}$ , измеренное по середине кривой перехода, составляло  $\approx 0,6 \text{ К}$ <sup>1)</sup>. При давлении  $\approx 14 \text{ кбар}$   $T_c$  возрастало на 0,07. (Рентгеновские определения постоянной решетки "а" позволяют предположить наличие максимума на зависимости  $T_c$  (а)). Проведенные предварительные измерения ЭДС Холла показали, что  $\text{UBe}_{13}$  имеет дырочную проводимость. При  $4,2 \text{ К}$   $n = 4 \cdot 10^{20} \text{ см}^{-3}$ . С ростом температуры от 2,5 до  $100 \text{ К}$  константа Холла падает примерно в 12 раз. Несмотря на различие в  $T_c$ , исследованные в данной работе образцы  $\text{UBe}_{13}$  по своим свойствам были подобны исследованным в<sup>5</sup>. Например, они имели аналогичную зависимость  $r(T)$ . При понижении температуры от комнатной до двух градусов сопротивление образца увеличивается вдвое. В области от двух градусов до 1,6 практически остается постоянным, а затем линейно уменьшается примерно вдвое до  $T = T_c$ . (В отличие от  $\text{UBe}_{13}$ , у образцов  $\text{ZrBe}_{13}$  при понижении температуры сопротивление падает в 10 – 20 раз). Исследование систем  $\text{U}_{1-x}\text{Zr}_x\text{Be}_{13}$  и  $\text{U}_{1-x}\text{W}_x\text{Be}_{13}$  показало, что в то время, как в первом случае имеется хорошая растворимость  $\text{ZrBe}_{13}$  в  $\text{UBe}_{13}$ , на что указывает плавное изменение постоянной решетки с  $x$ , во втором случае система является неоднородной. В образцах  $\text{U}_{1-x}\text{W}_x\text{Be}_{13}$  присутствуют такие фазы как  $\text{UBe}_{13}$ ,  $\text{WBe}_{22}$  и  $\text{WBe}_2$ . Отсутствие растворимости приводит к тому, что когда кроме  $\text{UBe}_{13}$  присутствует несверхпроводящая фаза  $\text{Be}_2\text{W}$ ,  $T_c$  сплава =  $= 0,57 \text{ К}$ , а  $(\partial H_{c2} / \partial T)_{T \rightarrow T_c} = 144 \text{ кЭ/К}$ . Если же в сплаве присутствует сверхпроводящая фаза  $\text{WBe}_{22}$ ,  $T_c$  которой =  $4,15 \text{ К}$ , то  $T_c$  образца  $\approx 4 \text{ К}$ , а  $(\partial H_{c2} / \partial T)_{T \rightarrow T_c} = 343 \text{ кЭ/К}$ .

По-видимому, в этом случае сверхпроводимость образца определяется присутствием  $\text{WBe}_{22}$ .

В случае  $\text{U}_{1-x}\text{Zr}_x\text{Be}_{13}$   $T_c$  резко падает с  $x$ , и уже при  $x = 0,1$  составляет  $\approx 0,07 \text{ К}$ , а  $\partial H_{c2} / \partial T \approx 15 \text{ кЭ/К}$ . При больших значениях  $x$ , например, при  $x = 0,5$ ,  $T_c$  становится меньше  $0,02 \text{ К}$ , а затем возрастает до 1,3 при  $x \rightarrow 1$ . Сильное уменьшение  $T_c$  наблюдалось также при введении в  $\text{UBe}_{13}$   $\text{CeBe}_{13}$ , которое также растворяется в  $\text{UBe}_{13}$ . В этом случае при  $x = 0,15$ ,  $T_c \approx 0,12 \text{ К}$ , а  $\partial H_{c2} / \partial T \approx 20 \text{ кЭ/К}$ . Таким образом растворение в  $\text{UBe}_{13}$  небольшого количества  $\text{ZrBe}_{13}$  или  $\text{CeBe}_{13}$ , приводящее к плавному изменению параметров решетки, вызывает резкое уменьшение  $T_c$  и  $\partial H_{c2} / \partial T$ .

Таблица 2)

Состав	$T_c$ , К	$\partial H_{c2} / \partial T$ , кЭ/К	$\rho_n$ , $10^{-5} \text{ Ом} \cdot \text{см}$	$\gamma_{\text{эксп}}$	$\gamma_{\text{ср}}$	Структура
				мДж моль $\cdot$ К $^2$		
$\text{UBe}_{13}$	0,55	270	4,8	1100	7,97	$\text{NaZn}_{13}$
$\text{ZrBe}_{13}$	1,34	0,15	1,3	2,2	2,25	$\text{NaZn}_{13}$
$\text{CeBe}_{13}$	< 0,01	–	7	–	–	$\text{NaZn}_{13}$
$\text{U}_{0,9}\text{Zr}_{0,1}\text{Be}_{13}$	0,07	15	62	0,5	–	$\text{NaZn}_{13}$
$\text{U}_{0,85}\text{Ce}_{0,15}\text{Be}_{13}$	0,12	20	30	1,5	–	$\text{NaZn}_{13}$
$\text{HfBe}_{13}$	0,35	–	1,6	–	2,06	ГЦК
$\text{WBe}_{13}$	4,1	0,57	11	0,97	0,720	ОЦТ
$\text{Mo}_6\text{S}_8\text{Be}$	2,58	7	9	33	8,79	ромб.

Приведенные в таблице значения  $T_c$  соответствуют температуре, при которой  $r(T) = 1/2 r_n$ .

<sup>1)</sup> В последнее время нами были получены образцы с  $T_c = 0,88 \text{ К}$ .

<sup>2)</sup> Недавно нами была обнаружена сверхпроводимость  $\text{YbBe}_{13}$ . При этом  $T_c = 0,4 \text{ К}$ , а  $\partial H_{c2} / \partial T = 4,32 \text{ кЭ/К}$ .

Приведенные выше данные по электронной теплоемкости, полученные на соединениях бериллия с переходными и редкоземельными металлами не вызывают удивления, так как по порядку величины соответствуют значениям  $\gamma$  многих металлических систем. Они не слишком сильно отличаются от средних значений, рассчитанных из  $\gamma_{\text{Be}}$  и  $\gamma$  для второй компоненты. С другой стороны, исключительно высокие значения  $\gamma$ , полученные для UBe<sub>13</sub> являются уникальными. Для объяснения таких высоких значений  $\gamma$  в различных работах привлекались такие гипотезы, как возникновение ферми-жидкости тяжелых фермионов<sup>5</sup>, сверхпроводимость, вызванная  $P$ -спариванием<sup>6</sup>, особенности свойств кондо-решетки и пр.<sup>9</sup>. Высказывалось мнение, что необычные свойства UBe<sub>13</sub> определяются в основном атомами U и связаны со спецификой поведения 5f-электронов<sup>5</sup>. Однако, ряд соединений урана, такие как U<sub>6</sub>Fe, переходящие в сверхпроводящее состояние при  $T_c = 3,8 \text{ К}$ <sup>10</sup>, хотя и имеют достаточно высокие критические магнитные поля (которые также связываются с 5-f электронами урана), существенно отличаются от UBe<sub>13</sub>. Так, например, у U<sub>6</sub>Fe  $\partial H_{c2} / \partial T = 34,2 \text{ кЭ/К}$ , а  $\gamma = 155 \text{ мДж/моль} \cdot \text{К}^2$ , т. е. почти в десять раз меньше, чем у UBe<sub>13</sub>. С другой стороны, у некоторых фаз Шевреля  $\partial H_{c2} / \partial T$  также имеют достаточно большие значения, составляющие, например, для PbMo<sub>6</sub>S<sub>8</sub>  $\approx 55 \text{ кЭ/К}$  (в этом случае  $m^* \approx \approx 10 m_0$ ).

В пользу того, что 5-f электроны в основном ответственны за сверхпроводимость UBe<sub>13</sub>, в<sup>5</sup> сообщается, что такие соединения как LaBe<sub>13</sub>, LuBe<sub>13</sub> и ThBe<sub>13</sub> не обнаруживают перехода в сверхпроводящее состояние вплоть до 0,45 К. Однако, как следует из настоящего сообщения ряд соединений бериллия, имеющих структуру подобную UBe<sub>13</sub> являются сверхпроводниками.

Возможно, что для того, чтобы проявились специфические свойства 5-f электронов необходимо, чтобы атомы урана находились в "благоприятной" кристаллической решетке. В такой решетке 5-f электроны U будут достаточно сильно локализоваться. Для бериллидов урана такой решеткой, по-видимому, является решетка типа NaZn<sub>13</sub>. Соединения кристаллизующиеся в такой решетке, также как и фазы Шевреля можно отнести к кластерным соединениям<sup>11</sup>, среди которых имеется ряд сверхпроводников с необычными свойствами. Следует, однако, напомнить, что в фазах Шевреля введение урана приводит к понижению  $T_c$  и  $H_{c2}$ , а UMo<sub>6</sub>S<sub>8</sub> не является сверхпроводником<sup>12 13</sup>. Возможно, что в случае UBe<sub>13</sub> подобно тому, как это отмечалось в<sup>9</sup> для CeCu<sub>2</sub>Si<sub>2</sub>, имеет место резонансное состояние типа Абрикосова – Сула, которое, естественно, будет весьма чувствительным к изменению параметров системы. Не исключено также, что в случае UBe<sub>13</sub> может возникать ковалентная неустойчивость<sup>13, 14</sup>. В этом случае  $H_{c2}$  может стремиться к бесконечности, в то время как  $J_c$  будет стремиться к нулю<sup>15</sup>. Проведенные нами предварительные измерения  $J_c$ , по-видимому, не исключают и такую возможность.

Выражаю благодарность Е.П.Хлыбову за проведение рентгеновского контроля образцов, Ю.А.Денискину, В.Ю.Сальникову и Н.А.Тихоновой за помощь в эксперименте.

#### Литература

1. Алексеевский Н.Е., Михайлов Н.Н. ЖЭТФ, 1962, 43, 2110.
2. Bucher E., Heiniger F. Phys. Lett., 1965, 19, 263.
3. Olsen C.E., Matthias B.T., Hill H.H. Z. Phys., 1967, 200, 7.

<sup>1)</sup> В последнее время нами был приготовлен образец U<sub>1,2</sub>Mo<sub>6,4</sub>S<sub>8</sub>, который переходит в сверхпроводящее состояние при  $T = 0,25 \text{ К}$  и имеет  $\partial H_{c2} / \partial T \approx 7 \text{ кЭ/К}$ . По рентгеновским данным, кроме фазы Шевреля в нем присутствовали Mo<sub>2</sub>S<sub>3</sub> и окисульфид урана UOS.

4. Адексеевский Н.Е., Закосаренко В.М. ДАН, 1973, 208, 303.
5. Ott H.R., Rudiger H., Fisk Z., Smith J.L. Phys. Rev. Lett., 1983, 50, 1595.
6. Alekseevskii N.E., Dodokin A.P., Bazan C., Bagdasarov Kh.S., Fedorov E.A., Belyaev L.M. Gyogenics, 1981, 598.
7. Alekseevskii N.E., Gaydukov Yu.P. Zh Exper. Teor. Fiz. Pisma, 1953, 25, 383.
8. Ott H.R., Rudiger H., Rice T.M., Ueda K., Fisk Z., Smith J.L. Phys. Rev. Lett., 1984, 52, 1690.
9. Алиев Ф.Г., Брандт Н.Б., Мошалков В.В., Петренко О.В., Чудинов С.М., Ясницкий Р.И. ЖЭТФ, 1984, 86, 255.
10. Dekong L.E., Huber J.G., Jang K.N., Maple M.B. Phys. Rev. Lett., 1983, 51, 312.
11. Alekseevskii N.E. Gyogenics, 1980, 20, 257.
12. Alekseevskii N.E., Mitin A.V., Bazan C., Gren B., Folcik L. Solid State Commun., 1982, 41, 569.
13. Алексеевский Н.Е., Митин А.В., Вольф Г. ЖЭТФ, 1983, 84, 2, 686.
14. Allen P.B., Dynes R.C. Phys. Rev., 1975, B12, 905.
15. Булаевский Л.Н., Собянин А.А., Хомский Д.И. ЖЭТФ, 1984, 87, 854.

Институт физических проблем  
Академии наук СССР

Поступила в редакцию  
6 июня 1984 г.